

МИНИСТЕРСТВО НАУКИ И ВЫСШЕГО ОБРАЗОВАНИЯ РОССИЙСКОЙ ФЕДЕРАЦИИ
ФЕДЕРАЛЬНОЕ ГОСУДАРСТВЕННОЕ АВТОНОМНОЕ ОБРАЗОВАТЕЛЬНОЕ УЧРЕЖДЕНИЕ
ВЫСШЕГО ОБРАЗОВАНИЯ «НАЦИОНАЛЬНЫЙ ИССЛЕДОВАТЕЛЬСКИЙ ЯДЕРНЫЙ
УНИВЕРСИТЕТ «МИФИ»»

УДК 539.165.2

ОТЧЕТ
О НАУЧНО-ИССЛЕДОВАТЕЛЬСКОЙ РАБОТЕ
АНАЛИТИЧЕСКОЕ И ЧИСЛЕННОЕ
ИССЛЕДОВАНИЯ СПЕКТРА ВОЗБУЖДЕНИЙ
КИНКА

Научный руководитель
д.ф.-м.н.

_____ В. А. Гани

Студент

_____ А. С. Никифоров

Москва 2025

СОДЕРЖАНИЕ

Введение	3
1 Теоретическая часть	3
1.1 Основные сведения о кинке	3
1.2 Постановка задачи	4
1.3 Численное решение поставленной задачи	5
2 Основная часть	6
2.1 Модель φ^4	6
2.1.1 Аналитическое решение	6
2.1.2 Численное решение	9
2.2 Модель sine-Gordon	10
2.2.1 Аналитическое решение	10
2.2.2 Численное решение	11
2.3 Модифицированный φ^6	11
2.3.1 Аналитическое решение	11
2.3.2 Численное решение	12
Заключение	13

ВВЕДЕНИЕ

Кинк представляет собой полевую конфигурацию, интерполирующую между двумя состояниями, отвечающими минимумам самодействия поля (потенциала теоретико-полевой модели). При этом кинк имеет наименьшую возможную энергию среди всех конфигураций, соединяющих эти два минимума [3].

Изучение спектра возбуждений кинковых решений необходимо для объяснения резонансных явлений в столкновениях (рассеянии) кинков. В свою очередь резонансные явления необходимы для описания столкновения доменных стенок. Целью данной работы является исследование спектра малых возбуждений кинка в линейном приближении.

Для достижения данной цели решались следующие задачи:

- Ознакомление с основной литературой, посвященной данной тематике;
- Постановка задачи о спектре возбуждений кинка;
- Написание программы для численного решения поставленной задачи (задачи на собственные значения и собственные функции);
- Получение численного и аналитического решений для ряда моделей кинков.

1. ТЕОРЕТИЧЕСКАЯ ЧАСТЬ

1.1 Основные сведения о кинке

Рассмотрим скалярное поле $\varphi(x, t)$, развитие которого описывается лагранжианом в пространстве $(\mathcal{D} = 1 + 1)$

$$\mathcal{L} = \frac{1}{2}(\partial_\mu \varphi)^2 - V(\varphi), \quad \mu = 0, 1. \quad (1.1)$$

Где $V(\varphi)$ - потенциал системы, который достигает нуля в конечном числе точек. Из лагранжиана получим уравнение движения:

$$\frac{\partial^2 \varphi}{\partial t^2} - \frac{\partial^2 \varphi}{\partial x^2} + \frac{dV}{d\varphi} = 0. \quad (1.2)$$

Для стационарного случая, когда $\frac{\partial \varphi}{\partial t} = 0$, $\varphi(x, t) \equiv \varphi(x)$, получим:

$$\frac{d^2 \varphi}{dx^2} = \frac{dV}{d\varphi} = \frac{dV}{dx} \frac{dx}{d\varphi}, \quad (1.3)$$

$$\frac{d\varphi_k}{dx} = \sqrt{2V(\varphi)}. \quad (1.4)$$

1.2 Постановка задачи

Рассмотрим скалярное поле $\varphi(x, t)$ как стационарное решение $\varphi_K(x)$ с малым возмущением $\delta\varphi(x, t)$, т.е.

$$\varphi(x, t) = \varphi_K(x) + \delta\varphi(x, t), \quad \|\delta\varphi\| \ll \|\varphi_K\|. \quad (1.5)$$

Подставим это выражение в уравнение (12) получим:

$$\frac{\partial^2 \delta\varphi}{\partial t^2} - \frac{d^2 \varphi_k}{dx^2} - \frac{\partial^2 \delta\varphi}{\partial x^2} + \frac{dV}{d\varphi} \Big|_{\varphi_k(x) + \delta\varphi} = 0. \quad (1.6)$$

Выполним разложение по степеням $\delta\varphi$ для $\frac{dV(\varphi_k + \delta\varphi)}{d\varphi}$, т.к. $\|\delta\varphi\| \ll \|\varphi_K\|$:

$$\frac{dV(\varphi_k + \delta\varphi)}{d\varphi} \approx \frac{dV(\varphi_k)}{d\varphi} + \frac{d^2 V(\varphi_k)}{d\varphi^2} \cdot \delta\varphi, \quad \frac{dV(\varphi_k)}{d\varphi} = \frac{d^2 \varphi_k}{dx^2} \quad (1.7)$$

$$\frac{\partial^2 \delta\varphi}{\partial t^2} - \frac{\partial^2 \delta\varphi}{\partial x^2} + \frac{d^2 V}{d\varphi^2} \Big|_{\varphi_k(x)} \cdot \delta\varphi = 0. \quad (1.8)$$

Будем искать возмущение в форме:

$$\delta\varphi(x, t) = \psi(x) \cos(\omega t) \quad (1.9)$$

Тогда уравнение (8) примет вид: [2]

$$\left[-\frac{d^2}{dx^2} + \frac{d^2 V}{d\varphi^2} \Big|_{\varphi_k(x)} \right] \psi(x) = \omega^2 \psi(x), \quad \psi(x) \in C^2, \psi(x) \in L^2 \quad (1.10)$$

Переобозначим

$$\frac{d^2 V}{d\varphi^2} \Big|_{\varphi_k(x)} = U(x) \quad (1.11)$$

и примем:

$$\hat{H} = -\frac{d^2}{dx^2} + U(x). \quad (1.12)$$

Рассмотрим случай нулевого собственного значения. Тогда возмущение примет вид:

$$\delta\varphi = \psi(x). \quad (1.13)$$

Очевидно, что в таком случае всегда будет соответствующая ему собственная функция:

$$\psi_0 = \frac{d\varphi_k}{dx}. \quad (1.14)$$

1.3 Численное решение поставленной задачи

Численное решение задачи на собственные значения и собственные функции для уравнения Шредингера с произвольным потенциалом:

$$\left[-\frac{d^2}{dx^2} + V(x) \right] \psi(x) = \omega^2 \psi(x) \quad (1.15)$$

Преобразуем непрерывное пространство в дискретное. Зададим границы области, $x \in [-a, a]$ и разобьем пространство:

$$\begin{aligned} x_0 &= -a && , \\ x_1 &= -a + \Delta x && , \\ \dots &&& , \\ x_{N-1} &= a && . \end{aligned}$$

Введем обозначение $f(x_i) = f_i$. Тогда:

$$\begin{aligned} \psi_0 &= 0 && , \\ \dots &&& , \\ \psi_{N-1} &= 0 && . \end{aligned}$$

Преобразуем уравнение Шредингера аппроксимируя вторую производную конечными разностями [1]:

$$\begin{cases} -\frac{\psi_{j+1} - 2\psi_j + \psi_{j-1}}{\Delta x^2} + V_j \psi_j = \omega^2 \psi_j + O(\Delta x^2), \\ j = 1, \dots, N-2 \end{cases} \quad (1.16)$$

Полученную систему уравнений перепишем в матричном виде:

$$\begin{pmatrix} \frac{2}{\Delta x^2} + U_1 & -\frac{1}{\Delta x^2} & 0 & \dots & 0 \\ -\frac{1}{\Delta x^2} & \frac{2}{\Delta x^2} + U_2 & -\frac{1}{\Delta x^2} & \ddots & \vdots \\ 0 & -\frac{1}{\Delta x^2} & \frac{2}{\Delta x^2} + U_3 & \ddots & 0 \\ \vdots & \ddots & \ddots & \ddots & -\frac{1}{\Delta x^2} \\ 0 & \dots & 0 & -\frac{1}{\Delta x^2} & \frac{2}{\Delta x^2} + U_{N-2} \end{pmatrix} \begin{pmatrix} \psi_1 \\ \psi_2 \\ \psi_3 \\ \vdots \\ \psi_{N-2} \end{pmatrix} = \omega^2 \begin{pmatrix} \psi_1 \\ \psi_2 \\ \psi_3 \\ \vdots \\ \psi_{N-2} \end{pmatrix} \quad (1.17)$$

Для численного нахождения собственных значений и собственных функций полученной тридиагональной симметричной матрицы используем библиотеку LAPACK, а именно функцию `dsteval()`.

2. ОСНОВНАЯ ЧАСТЬ

2.1 Модель φ^4

2.1.1 Аналитическое решение

Для модели φ^4 , $V(\varphi) = \frac{1}{2}(1 - \varphi^2)^2$, $\varphi_K(x) = \tanh x$, получим:

$$U = 4 - \frac{6}{\cosh^2 x}. \quad (2.1)$$

Тогда дифференциальное уравнение примет вид:

$$\psi'' + (2 - 6 \tanh^2 x + \omega^2)\psi = 0 \quad (2.2)$$

$$\left[-\frac{d^2}{dx^2} + 6 \tanh^2(x) - 2 \right] \psi(x) = \omega^2 \psi(x) \quad (2.3)$$

Замена $\tanh x = \xi$, $\frac{d\psi}{dx} = \frac{d\psi}{d\xi} \frac{d\xi}{dx}$

$$\frac{1}{\cosh^2 x} \frac{d}{d\xi} \left[(1 - \xi^2) \frac{d\psi}{d\xi} \right] + [-6\xi^2 + 6 - 4 + \omega^2] \psi(\xi) \quad (2.4)$$

$$\frac{d}{d\xi} [(1 - \xi^2) \psi'] + \left(2(2 + 1) - \frac{4 - \omega^2}{1 - \xi^2} \right) \psi = 0 \quad (2.5)$$

Решением ДУ такого типа являются присоединённые многочлены Лежандра. Для нашего случая:

$$\psi(\xi) = P_l^m(\xi) = P_2^\Omega(\xi), \quad \Omega^2 = 4 - \omega^2 \quad (2.6)$$

Так как $0 \leq m \leq l$, то $\Omega = 0, 1, 2$. Учитывая предыдущую строку, получим для вещественных: Ω, ω

$$\omega = 0, \sqrt{3}, 2 \quad (2.7)$$

Однако нас интересуют только функции уходящие в ноль на бесконечности, т.е.

$$\lim_{x \rightarrow \pm\infty} \psi(x) = \lim_{\xi \rightarrow \pm 1} P_2^\Omega(\xi) = 0, \quad (2.8)$$

Следовательно нам не подходит решение $P_2^0(\xi)$. Тогда:

$$\psi_1 = P_2^1(\xi), \quad \omega = \sqrt{3} \quad (2.9)$$

$$\psi_2 = P_2^2(\xi), \quad \omega = 0 \quad (2.10)$$

Приведенные выше рассуждения имеют смысл лишь для случая, когда: $4 - \omega^2 = 0, 1, \dots$

Теперь найдем вид гипергеометрического уравнения.

Выполним пару замен $\frac{1-\xi}{2} = u, \psi = (1 - \xi^2)^{\frac{\Omega}{2}} \eta(\xi)$

и после несложных преобразований получим:

$$u(1-u)\eta'' + (\Omega+1)(1-2u)\eta' - (\Omega-l)(\Omega+l+1)\eta = 0 \quad (2.11)$$

$$u(1-u)\eta'' + [\Omega+1 - (\Omega-l + \Omega+l+1+1)u]\eta' - (\Omega-l)(\Omega+l+1)\eta = 0 \quad (2.12)$$

Для удобства, перейдем к другим обозначениям:

$$x(1-x)\frac{d^2y}{dx^2} + [c - (a+b+1)x]\frac{dy}{dx} - aby = 0. \quad (2.13)$$

В общем виде решение около 0, при $c \notin \mathbb{Z}$

$$y = AF(a, b, c, x) + Bx^{1-c}F(a-c+1, b-c+1, 2-c, x) \quad (2.14)$$

Для нашего случая:

$$\eta(u) = AF(\Omega-l, \Omega+l+1; \Omega+1; u) + Bu^{-\Omega}F(-l, l+1; 1-\Omega; u) \quad (2.15)$$

Это решение должно оставаться конечным при $x \rightarrow +\infty, u \rightarrow 0$. Следовательно коэффициент В - зануляется.

Сделаем обратную замену:

$$\psi(\xi) = (1 - \xi^2)^{\frac{\Omega}{2}} A {}_2F_1 \left[\Omega - l, \Omega + l + 1; \Omega + 1; \frac{1 - \xi}{2} \right] \quad (2.16)$$

Для того, чтобы это решение было нулевым при $x \rightarrow -\infty$, $\xi \rightarrow -1$, необходима ограниченность гипергеометрической функции.

Пусть вещественная часть $(a + b - c) > 0$, тогда:

$${}_2F_1 [a, b; c; 1] = \frac{\Gamma(c)\Gamma(c - a - b)}{\Gamma(c - a)\Gamma(c - b)} \quad (2.17)$$

В нашем случае:

$${}_2F_1 [\Omega - l, \Omega + l + 1; \Omega + 1; 1] = \frac{\Gamma(\Omega + 1)\Gamma(-\Omega)}{\Gamma(l + 1)\Gamma(-l)} \quad (2.18)$$

Если $a = -n$, $n \in \mathbb{Z}^+$, то записанное выше выражение преобразуется в:

$${}_2F_1 [-n, b; c; 1] = \frac{(c - b)_n}{(c)_n} \quad (2.19)$$

$${}_2F_1 [-n, \Omega + l + 1; \Omega + 1; 1] = \frac{(-l)_n}{(\Omega + 1)_n} \quad (2.20)$$

В этом случае решение всегда остается конечным. Окончательно получим, что решение исходной задачи для потенциала $U = 6 \tanh^2(x) - 2$ является:

$$\psi(x) = (1 - \tanh(x)^2)^{\frac{\Omega}{2}} A {}_2F_1 \left[\Omega - l, \Omega + l + 1; \Omega + 1; \frac{1 - \tanh(x)}{2} \right], \quad (2.21)$$

где:

$$l - \Omega = 0, 1, \dots \quad (2.22)$$

Изначально $l = 2$, тогда:

$$\Omega_n = 2 - n, \quad n \in \mathbb{Z}^+ \quad (2.23)$$

Перейдем обратно к ω^2 . используя $\Omega^2 = 4 - \omega^2$

$$\omega_n^2 = 4n - n^2 \quad (2.24)$$

$$\omega_0^2 = 0, \quad (2.25)$$

$$\omega_1^2 = 3, \quad (2.26)$$

$$\omega_2^2 = 4. \quad (2.27)$$

Собственные значения в общем случае ограничены $\Omega > 0$, что равносильно $n < l$. (это следует из того, что степень функции, стоящей перед гипергеометрической должна быть строго положительной, чтобы она занулялась на бесконечности $(1 - \tanh(x)^2)$).

Окончательно делаем вывод, что решением этой задачи являются:

$$\psi_0(x) = \left(\frac{1}{\cosh x} \right)^2 A \quad , \omega_0 = 0 \quad (2.28)$$

$$\psi_1(x) = \left(\frac{\tanh x}{\cosh x} \right) A \quad , \omega_1 = 3 \quad (2.29)$$

2.1.2 Численное решение

$$U = 4 - \frac{6}{\cosh^2 x}. \quad (2.30)$$

Для этого потенциала построим графики собственных функций

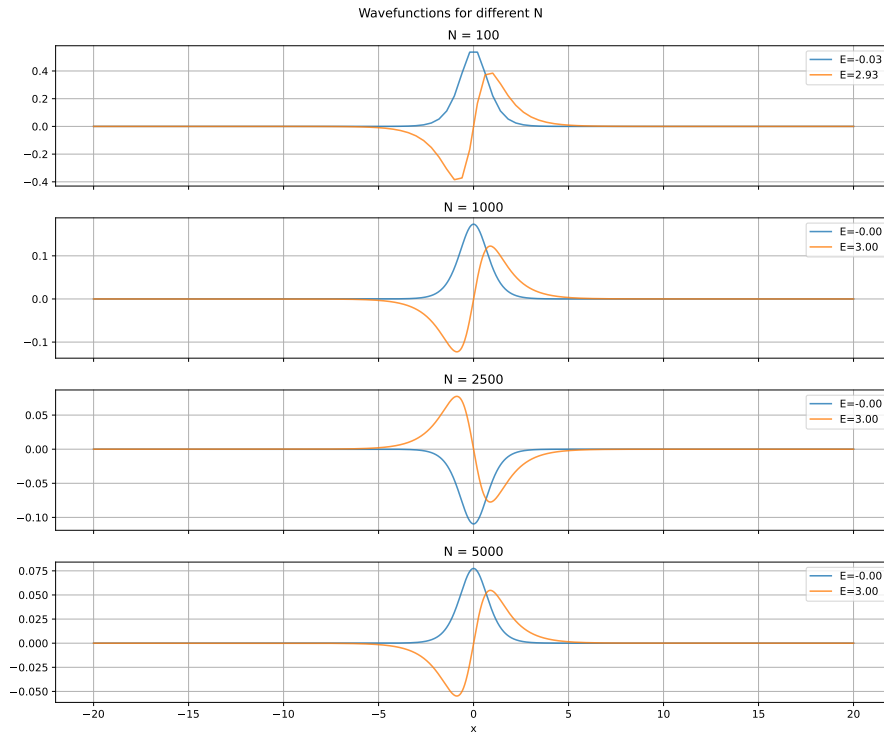


Рисунок 1 — Графики собственных функций для разных степеней дискретизации

2.2 Модель sine-Gordon

2.2.1 Аналитическое решение

Для модели sine-Gordon, $V(\varphi) = 1 - \cos \varphi$, $\varphi_K(x) = 4 \operatorname{arctg} e^x$, получим:

$$U(x) = 1 - \frac{2}{\cosh^2 x} \quad (2.31)$$

$$\psi'' + \left(\omega^2 - 1 + \frac{2}{\cosh^2 x} \right) \psi = 0 \quad (2.32)$$

Проведем преобразования аналогичные предыдущему пункту:

$$\frac{d}{d\xi} [\psi (1 - \xi^2)] (1 - \xi^2) + (\omega^2 - 2\xi^2) \psi = 0 \quad (2.33)$$

$$\frac{d}{d\xi} [\psi (1 - \xi^2)] + \left(1(1 + 1) - \frac{1 - \omega^2}{1 - \xi^2} \right) \psi = 0 \quad (2.34)$$

Задача сведена к предыдущей:

$$\psi(\xi) = (1 - \xi^2)^{\frac{\Omega}{2}} A {}_2F_1 \left[\Omega - 1, \Omega + 2; \Omega + 1; \frac{1 - \xi}{2} \right] \quad (2.35)$$

Единственным решением согласно рассуждениям, описаным в предыдущей модели, соответствует единственное решение:

$$\psi_0(x) = \left(\frac{1}{\cosh x} \right) A {}_2F_1 \left[0, 3; 2; \frac{1 - \tanh x}{2} \right] \quad (2.36)$$

2.2.2 Численное решение

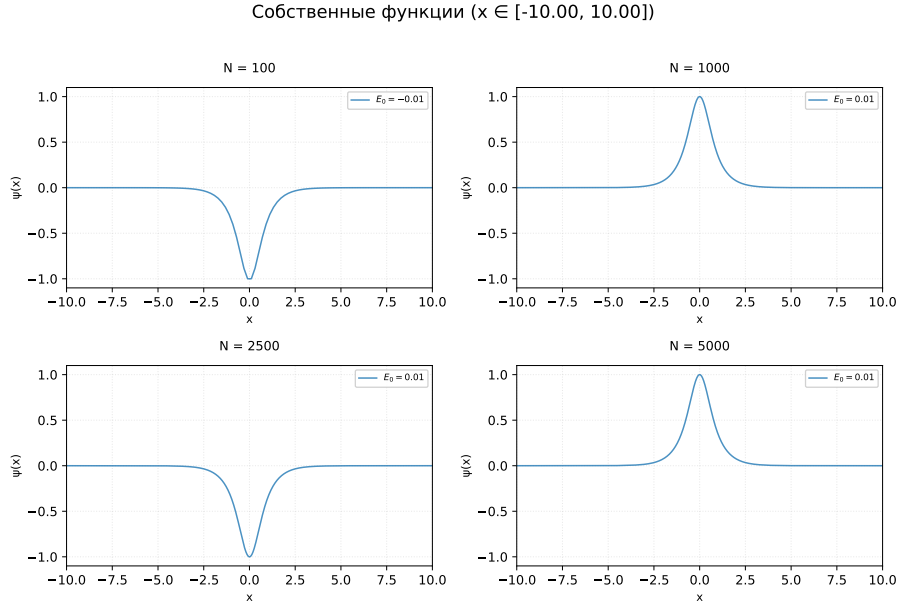


Рисунок 2 — Графики собственных функций модели sine-Gordon для разных степеней дискретизации

2.3 Модифицированный φ^6

Для данной модели:

$$V(\varphi) = \frac{1}{2} |1 - \varphi^2|^3 \quad (2.37)$$

$$\frac{d^2V}{d\varphi^2} = (1 - \varphi^2)(15\varphi^2 - 3) \quad (2.38)$$

Тогда $U(x)$:

$$U(x) = \left(1 - \frac{x^2}{1 + x^2}\right) \left(\frac{15x^2}{1 + x^2} - 3\right) \quad (2.39)$$

2.3.1 Аналитическое решение

Воспользуемся свойством существования решения при нулевом собственном значении. Тогда получим:

$$\psi(x) = \frac{d\varphi_k}{dx} \quad (2.40)$$

Подставим кинковое решение, полученное несложным интегрированием из уравнения (1.4)

$$\psi(x) = \frac{\sqrt{x^2 + 1}}{x^4 + 2x^2 + 1} \quad (2.41)$$

2.3.2 Численное решение

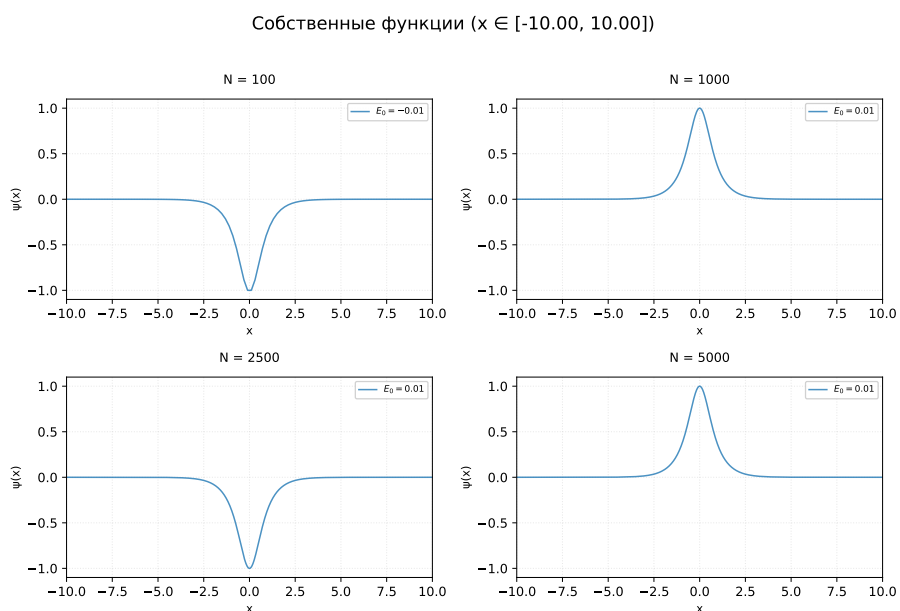


Рисунок 3 — Графики собственных функций модели φ^6 для разных степеней дискретизации

ЗАКЛЮЧЕНИЕ

В ходе работы были изучены спектры возбуждений кинка для различных моделей. Для каждой модели поставлена и решена (численно и аналитически) задача о спектре малых возбуждений кинка. В дальнейшем полученные результаты будут применены к исследованиям резонансных явлений в столкновениях кинков.

СПИСОК ИСПОЛЬЗОВАННЫХ ИСТОЧНИКОВ

- [1] J. Izaac и J. Wang. “Computational Quantum Mechanics (Part of the Undergraduate Lecture Notes in Physics book series)”. В: *Springer Nature Switzerland* (2018).
- [2] V. Lensky V. A. Gani и M. A. Lizunova. “Kink excitation spectra in the (1+1)- dimensional φ^8 model”. В: *Eur. Phys. J C 78, 345* (2018).
- [3] Гани В. А. “Динамические и асимптотические свойства низкоразмерных топологических солитонов”. В: (2023).